

# GaInAsP/InP 双异质结液相外延片的 *p-n* 结偏位\*

邬祥生 杨易 陈沛然 徐少华 李允平 胡道珊  
(中国科学院上海冶金研究所)

## 提要

用扫描电镜电子束感生电流法研究了 GaInAsP/InP 双异质结液相外延片的 *p-n* 结偏位问题。认为 Zn 沾污是偏位的主要原因之一。用控制 Zn 的掺入量或用 Mg 作 *p* 型掺杂剂均可制得正常的 *p-n* 结。用电化学 *c-v* 法测试了部分样品，并与制管后发射光谱进行比较，结果相同。

## 一、引言

当前，国内外对 GaInAsP/InP 双异质结材料和器件的研究工作发展很快。它不仅是光通信用的光源器件和长波长探测器件的材料，而且在集成光学等方面亦有发展前途<sup>[1-3]</sup>。

通常用 Zn 作为该异质结的 *p* 型掺杂剂。但是，在液相外延生长温度下，Zn 的蒸气压较高，容易造成系统的 Zn 沾污，而且 Zn 在 InP 和 GaInAsP 材料中又是快扩散的杂质。因此往往会使 GaInAsP/InP 异质结材料的 *p-n* 结偏位，偏离禁带的有源层。这将使器件性能变坏，出现双峰光谱，增大激光器阈值电流密度<sup>[4,5]</sup>。

本文介绍用扫描电镜电子束感生电流法(EBIC)对 GaInAsP/InP 双异质结材料的 *p-n* 结位置进行研究和检测的初步结果。

## 二、实验和结果

### (一) 实验

用二相法液相外延生长 GaInAsP/InP 双异质结<sup>[6]</sup>，结构如图 1(扫描电镜 SEM 照片)所示。外延衬底为 InP 单晶；在 100 立方向，掺 Sn $5 \times 10^{17}$ — $3 \times 10^{18} \text{ cm}^{-3}$ ；液相外延在 670—610°C 进行。衬底先经纯 In 或未饱和的 InP-In 合金熔液回熔，然后依次逐层生长 *n*-InP(掺 Sn 或 Te)，未掺杂的 GaInAsP，*p*-InP(掺 Zn 或 Mg)<sup>[7,8]</sup>。所用掺杂剂的物理化学性质见表 1。外延片解理面用 KOH 和 K<sub>3</sub>Fe(CN)<sub>6</sub> 混合液染色腐蚀显结，用光学显微

\* 1981 年 4 月 11 日收到。

表 1 几种掺杂剂的物理、化学性质

Tab. 1 Physical and chemical properties of the dopants

元素	InP 中的掺杂类型	熔点(℃)	蒸汽压 $P \sim 600^\circ\text{C}(\text{mmHg})$	InP/In 中分配系数
Zn	$p$	419	11.0	$1.14^{[8]}$
Mg	$p$	651	$\sim 0.76$	$0.25^{[6]}$
Sn	$n$	232	$\ll 1$	$0.0019^{[8]}$
Te	$n$	450	3.3	$0.27^{[8]}$

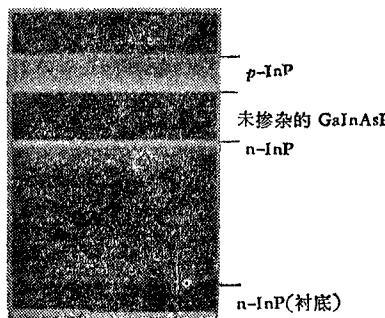


图 1 InP/GaInAsP/InP 解理面的扫描电镜照片 (3000×)

Fig. 1 SEM photograph of the cleaved facet of InP/GaInAsP/InP (3000×)

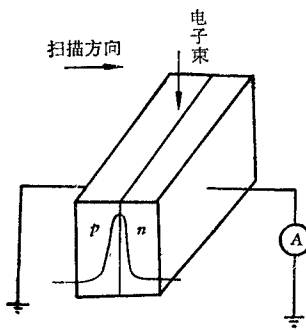
图 2 扫描电镜 EBIC 法测试  $p-n$  结位置示意图

Fig. 2 Schematic diagram measured by SEM with EBIC

镜或扫描电镜检测。宽接触器件用常规方式制备,用扫描电镜 EBIC 法检测  $p-n$  结位置。

## (二) 电子束感生电流法 (EBIC)

扫描电镜电子束感生电流法可用来显示半导体材料中的  $p-n$  结<sup>[9]</sup>, 示意于图 2。当电子束轰击被检测的半导体材料时, 在半导体中激发出电子-空穴对。这些额外的载流子要向半导体中的  $p-n$  结扩散, 一部分未被复合的少数载流子可以到达  $p-n$  结的耗尽层, 并被其内建电场分离, 因而在外电路上得到电子束感生电流  $I_{sc} = qG_0 \exp(1 - X_s/L)$ ; 其中,  $G_0$  为电子束激发出的载流子总数,  $X_s$  为电子束轰击点到  $p-n$  空间电荷区边缘的距离,  $L$  为少子扩散长度。

当采用线扫描时(线扫描方向垂直于  $p-n$  结), 可得电子束感生电流曲线, 如图 3(a)。曲线有一峰顶, 即为  $p-n$  结位置。峰顶两侧分别为  $p$  区和  $n$  区中少子( $p$  区中电子,  $n$  区中空穴)的束感生电流的指数衰减曲线(随离  $p-n$  结距离  $x_s$  的增大而指数衰减)。配上二次电子图象测试各层厚度, 即可形象地观察材料的  $p-n$  结位置。

## (三) 实验结果

1. Zn掺杂对  $p-n$  结位置的影响 用 Zn 作为  $p$ -InP 层掺杂剂时, 要特别注意严格控制液相中 Zn 的掺入量。如样品 A, 液相中 Zn 掺入量为 0.16at.% , 从 EBIC 检测结果(图 3(a))可知, 生成的结为偏位  $p-n$  结, 位于 InP 缓冲层与掺 Sn-InP 衬底的界面附近

(GaInAsP/InP 界面下  $\sim 3\mu\text{m}$ ). 该片还用电化学  $c-\nu$  法测试<sup>[10]</sup>, 结果如图 3(b). 二者结果相符. 还测得  $p$ -InP 的载流子浓度为  $1.6 \times 10^{18}\text{cm}^{-3}$ , 而  $n$ -InP 的载流子浓度为  $\sim 1 \times 10^{18}\text{cm}^{-3}$ . 当用这种偏位结的外延片制管时, 得到的发光管发射光谱出现双峰, 如图 3(c) 所示. 图中  $0.95\mu\text{m}$  的 InP 发射峰的发光强度达到了与 GaInAsP 发射峰的同一数量级.

但是, 在得到相同  $p$ -InP 的载流子浓度  $\sim 1 \times 10^{18}\text{cm}^{-3}$  的情况下, 尽量减少液相中 Zn 的掺入量, 如样品 B, 把 Zn 掺入量减为 0.02at.%, 或用 10% Zn-In 合金的形式掺入(以降低 Zn 蒸气压), 并适当控制  $n$ -InP 的载流子浓度 ( $1\text{--}3 \times 10^{18}\text{cm}^{-3}$ ), 使可得到正常的  $p$ - $n$  结(表 2 中样品 B、C). 用表中的样品 B 制管, 得到大于  $1.5\text{mW}$  的功率输出 ( $100\text{mA}$  的工作电流).

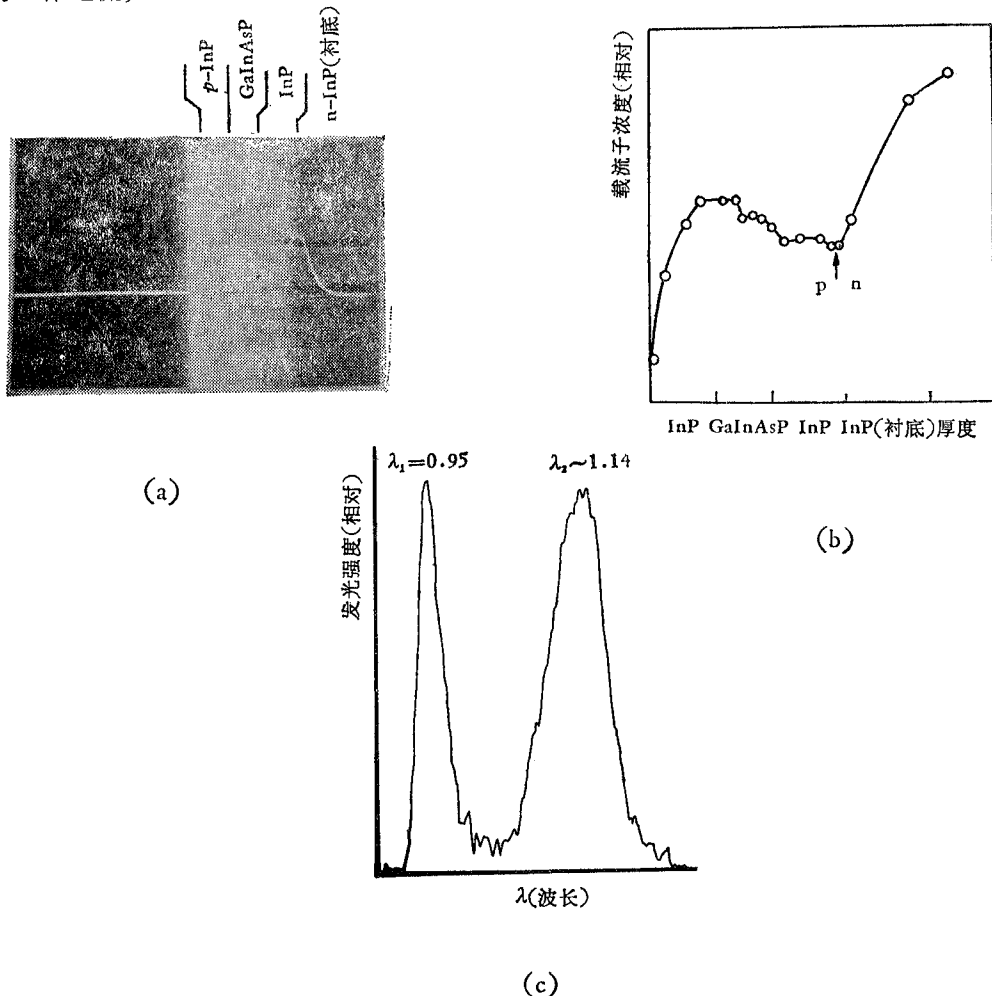
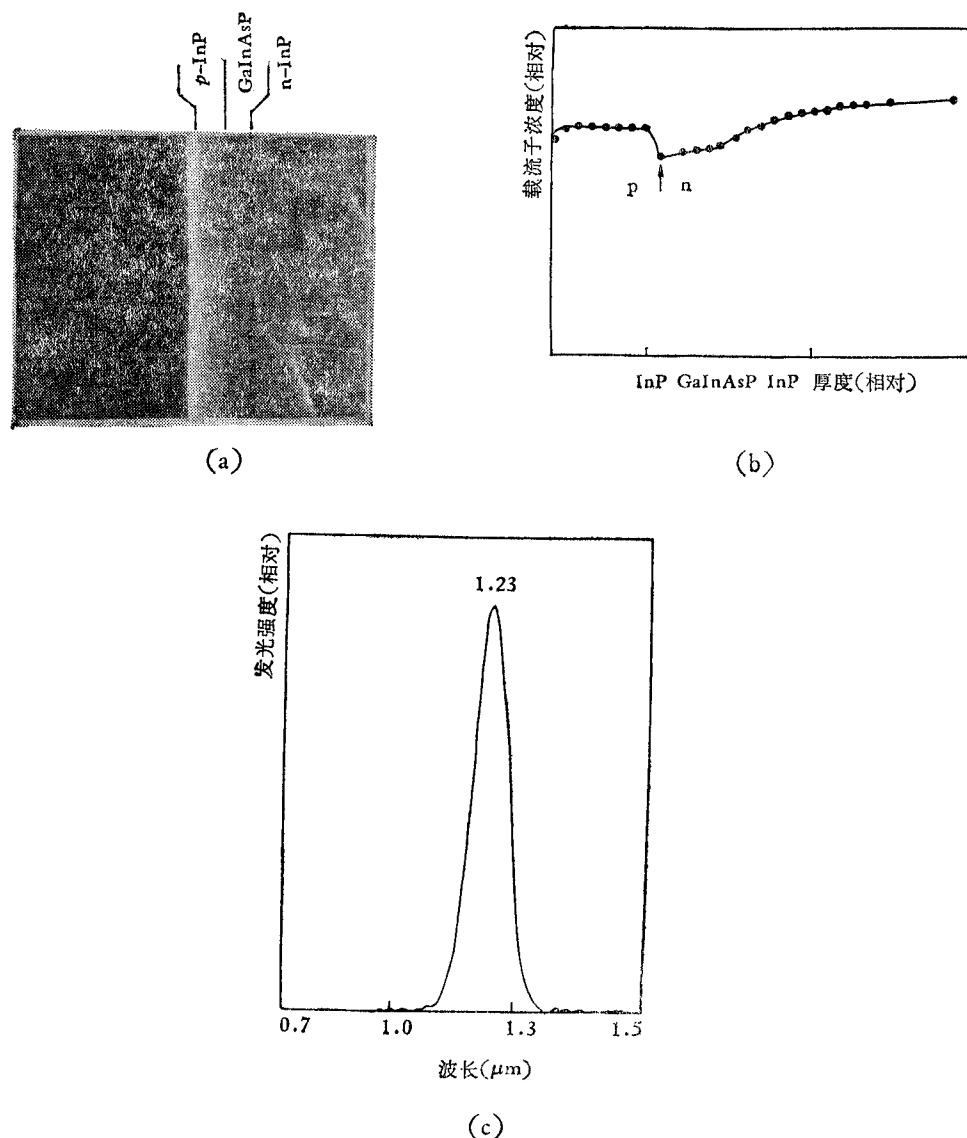


图 3 偏位  $p$ - $n$  结 (a) 扫描电镜电子束感生电流检测 (b) 电化学  $c-\nu$  曲线 (c) 制管后的发射光谱

Fig. 3 Misplaced junction

(a) SEM with EBIC, (b) Electrochemical  $c-\nu$  curve, (c) Emission spectrum of LED

**2. Mg 掺杂对  $p$ - $n$  结位置的影响** 用 Mg 作为  $p$ -InP 层的液相外延掺杂剂, 在  $n$ -InP 的载流子浓度为  $1\text{--}3 \times 10^{18}\text{cm}^{-3}$  的情况下, Mg 掺入量为 0.02at.%—0.12at.% 时, 得

图 4 正常  $p-n$  结(a) 扫描电镜电子束感生电流检测 (b) 电化学  $c-v$  曲线 (c) 制管后的发射光谱Fig. 4 Normal  $p-n$  junction(a) SEM with EBIC, (b) Electrochemical  $c-v$  curve, (c) Emission spectrum of LED

到的  $p$ -InP 载流子浓度为  $2 \times 10^{18} \text{ cm}^{-3}$ — $9 \times 10^{18} \text{ cm}^{-3}$ 。样品 D、E 得到了不偏位的  $p-n$  结, 见表 2 和图 4。用样品 E 制成的 Burrus 型发光管, 得到了  $1.3 \text{ mW}$  的功率输出 ( $100 \text{ mA}$  的工作电流)。

3. Zn 扩散制备  $p-n$  结 液相外延生长  $n$  型的 GaInAsP/InP 双异质结后, 再用闭管 Zn 扩散形成  $p-n$  结。正确控制扩散温度和时间 ( $\sim 615^\circ\text{C}$ , 3—5 分钟), 把表面  $\sim 2 \mu\text{m}$  的  $n$ -InP 扩散成  $p$  型 ( $\sim 1 \times 10^{18} \text{ cm}^{-3}$ ), 也可以得到不偏位的  $p-n$  结, 见表 2。

表 2  $p-n$  结的实验数据Tab. 2 Experimental data of the  $p-n$  junction

样 品	$P$ 型掺杂	液相中掺杂剂量 at.%	EBIC 法	电化学 $c-v$ 法			发射光谱
				$p\text{-InP}(\text{cm})^{-3}$	$n\text{-InP}(\text{cm})^{-3}$	$p-n$ 结	
A	Zn	0.16	偏位	$1.6 \times 10^{18}$	$1 \times 10^{18}$	偏位	双峰
B	Zn	0.02	正常	$1-2 \times 10^{18}$	$\sim 2 \times 10^{18}$	正常	单峰
C	Zn-In	0.02	/	$\sim 1 \times 10^{18}$	$\sim 1 \times 10^{18}$	正常	单峰
D	Mg	0.12	正常	$9 \times 10^{18}$	$1 \times 10^{18*}$	/	单峰
E	Mg	0.02	/	$2 \times 10^{18}$	$2 \times 10^{18}$	正常	单峰
F	Zn 扩散	/	正常		$1 \times 10^{18*}$	/	单峰
G	Zn 扩散	/	正常		$1 \times 10^{18*}$	/	单峰

\* 按文献 [6] 估算。

### 三、讨 论

(1) GaInAsP/InP 双异质结外延片的  $p-n$  结如发生偏位, 偏离窄禁带的有源层, 而落入较宽禁带的 InP 层, 则发射光谱将出现双峰, 如图 3(c) 所示。图中一个是四元发射峰, 另一个是 InP 发射峰。这可用图 5<sup>[4]</sup> 作示意说明。偏位  $p-n$  结的正向  $I-V$  特性的起始电压常常高达 1.3V 左右, 与 InP 的禁带宽度有关; 而正常  $p-n$  结 ( $\lambda \approx 1.3 \mu\text{m}$ ) 的正向起始电压则只有 0.8V 左右。从图 3(c) 还可以看到, 双峰光谱的发射强度几乎相等, 有时 InP 发射峰高于四元发射峰, 这就大大降低了四元的发光效率。众所周知, GaInAsP/InP 双异质结发光器件之所以在长波长光纤通信中得到广泛应用, 就是由于石英光纤在  $1.3 \mu\text{m}$  和  $1.55 \mu\text{m}$  附近有低损耗窗口 (0.5dB/km 以下), 而在  $0.9 \mu\text{m}$  处的损耗要高达 2dB/km 左右。所以说  $p-n$  结偏位应予避免。

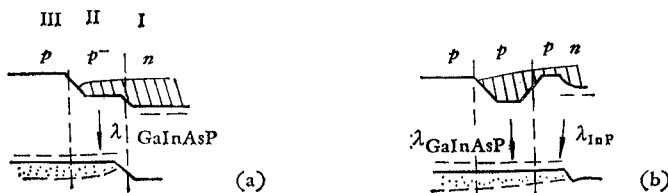


图 5

Fig. 5

(2) 实验表明, Zn 在液相外延中是较难控制的掺杂剂。它不仅在 InP 和 GaInAsP 中是快扩散杂质<sup>[11]</sup>, 而且蒸气压较高(见表 1), 在液相外延过程中易造成系统沾污, 引起  $p-n$  结偏位。但是, 只要注意外延舟的设计, 防止沾污, 并控制 Zn 的掺入量, 或用蒸气压较低的 Zn-In 合金, 是可以得到正常的  $p-n$  结的。因此 Zn 仍不失为一种良好的  $p$  型掺杂剂。

(3) Mg 亦是一种可以选用的  $p$  型掺杂剂, 其优点是蒸气压较 Zn 为低, 而且在 InP 和 GaInAsP 中扩散较慢, 很易制得正常的  $p-n$  结。但由于 Mg 容易氧化, 故需严格控制系统

的氧含量,否则会导致实验失败.

(4) EBIC 法是一种形象地检测  $p-n$  结位置的方法. 部分样品还用电化学  $c-v$  法校测,二者所得结果相符,并与制管后的发射光谱相对应,证明方法可靠.

本项工作得到我所有关室组和陈启均、陈莲勇、水海龙、张桂成等同志的协助,在此一并致谢.

### 参 考 文 献

- [1] M. A. Pollack, et al., Appl. Phys. Lett., **33**(1978), 314.
- [2] Y. Takanashi, et al., Jap. J. Appl. Phys., **18**(1979), 1615.
- [3] K. Iga, et al., IEEE J. on QE. **QE-15** (1979), 707.
- [4] Y. Itaya, et al., Jap. J. Appl. Phys., **18**(1979), 1795.
- [5] J. J. Coloman, et al., Electron Lett., **14**(1978), 558.
- [6] 邬祥生等, 液相外延生长  $1.3 \mu\text{m}$  GaInAsP/InP 双异质结, 半导体学报, (待发表).
- [7] H. Grothe, et al., Electron Lett., **15**(1979), 702.
- [8] M. G. Astles, et al., J. Electrochemical Soc. **120**(1973), 1750.
- [9] W. H. Hackett, et al., J. Appl. Phys., **43**(1972), 2857.
- [10] 陈自姚等, 半导体光电, 1981 年, 第 2 期, 第 207 页.
- [11] H. D. Law., IEEE. J. on QE, **QE-15** (1979), 549.

## MISPLACED $p-n$ JUNCTION IN D. H. GaInAsP/InP WAFER GROWN BY LPE

Wu Xiang-sheng, Yang Yi, Chen Pei-ran, Xu Shao-hua,  
Li Yun-ping, Hu Dao-shan

(Shanghai Institute of Metallurgy, Academia Sinica)

Misplaced  $p-n$  junction in the LPE D. H. GaInAsP/InP wafer is investigated by scanning electron microscope and electron beam-induced current method. It is shown that one of the reasons for the misplaced  $p-n$  junction is Zn contamination. By controlling doping level of p-type dopant Zn, or using Mg as p-type dopant, the correctly located  $p-n$  junction is obtained. The locations of the  $p-n$  junction of some samples are measured by electrochemical  $c-v$  method. The results obtained are consistent with the emission spectrum of the LED fabricated from the wafers.